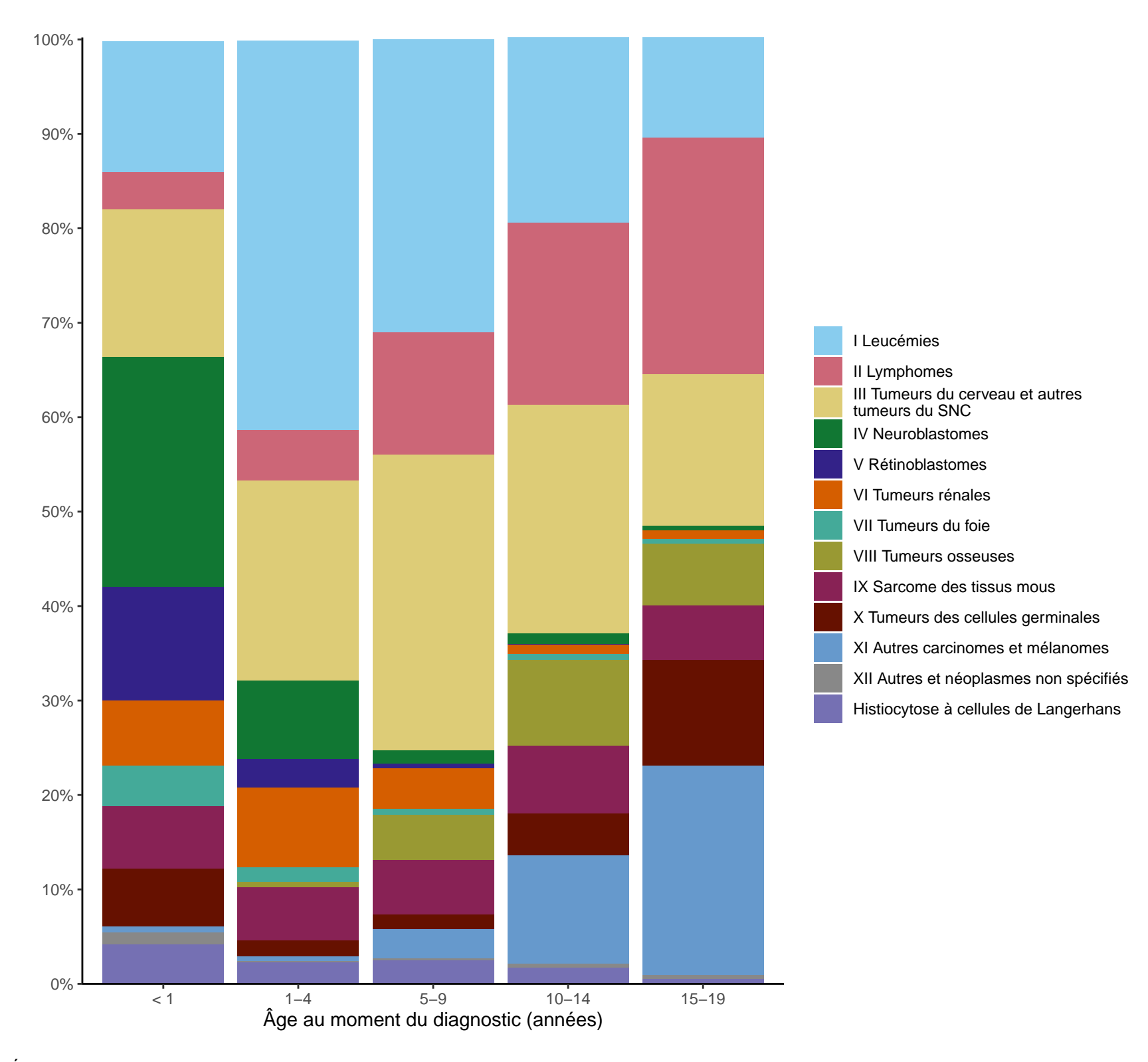
Proportion des groupes principaux de diagnostic selon l'âge au moment du diagnostic

Groupes principaux de diagnostic selon la ICCC-3¹ et de l'histiocytose à cellules de Langerhans; Proportion en pourcentage des cas au cours de la période 1994-2023



État des données: 14.07.2025

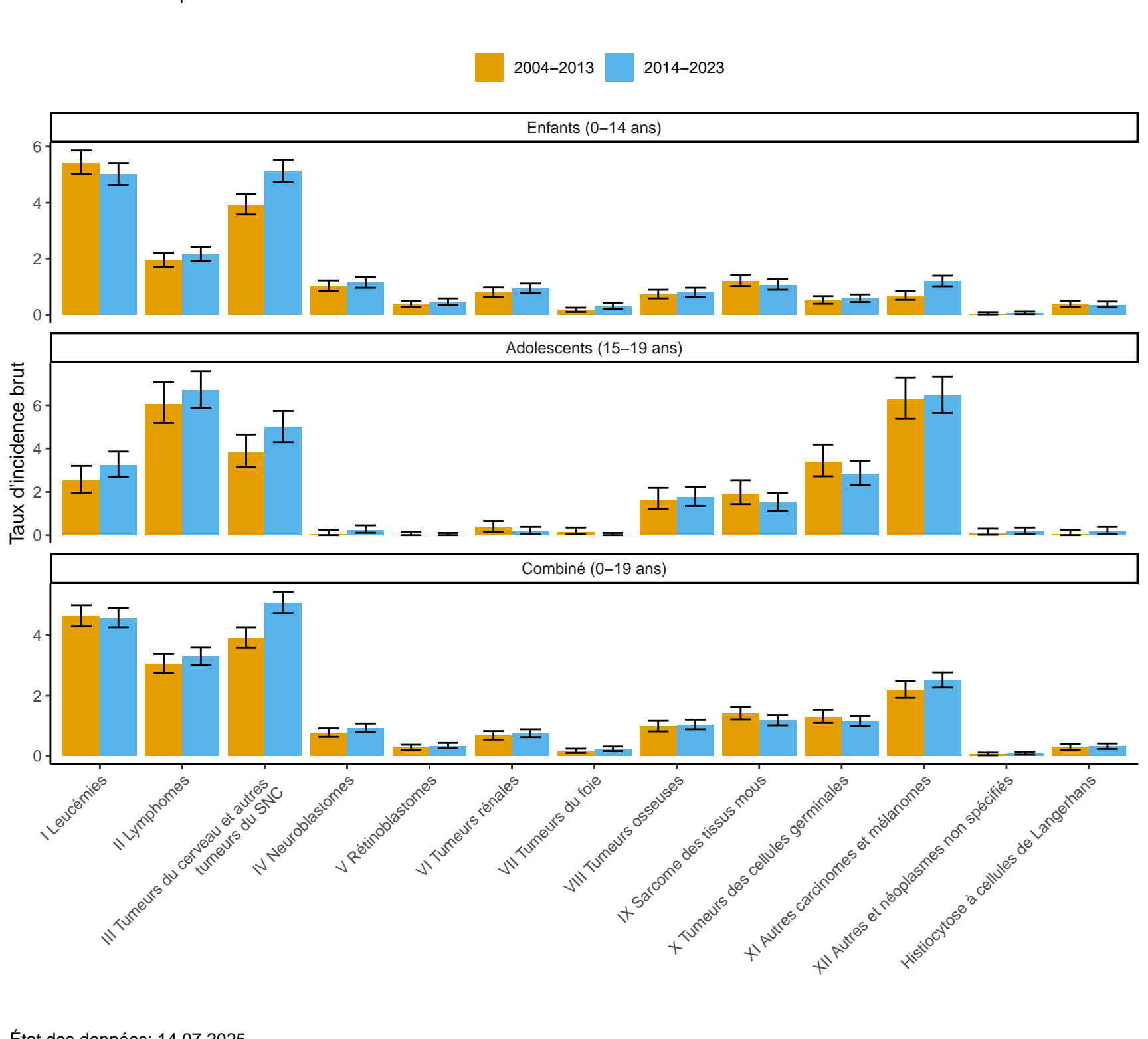
Publié: 18.08.2025

¹ Steliarova–Foucher E. et al. International Classification of Childhood Cancer, Third edition. Cancer 2005;103:1457–67. doi: 10.1002/cncr.20910. PMID: 15712273.

Incidence

Par groupes principaux de diagnostics, groupe d'âge et périodes de 10 ans

Groupes principaux de diagnostic selon la ICCC-3¹ et l'histiocytose à cellules de Langerhans; Taux brut pour 100,000 personnes par année; Les barres d'erreur représentent des intervalles de confiance à 95%

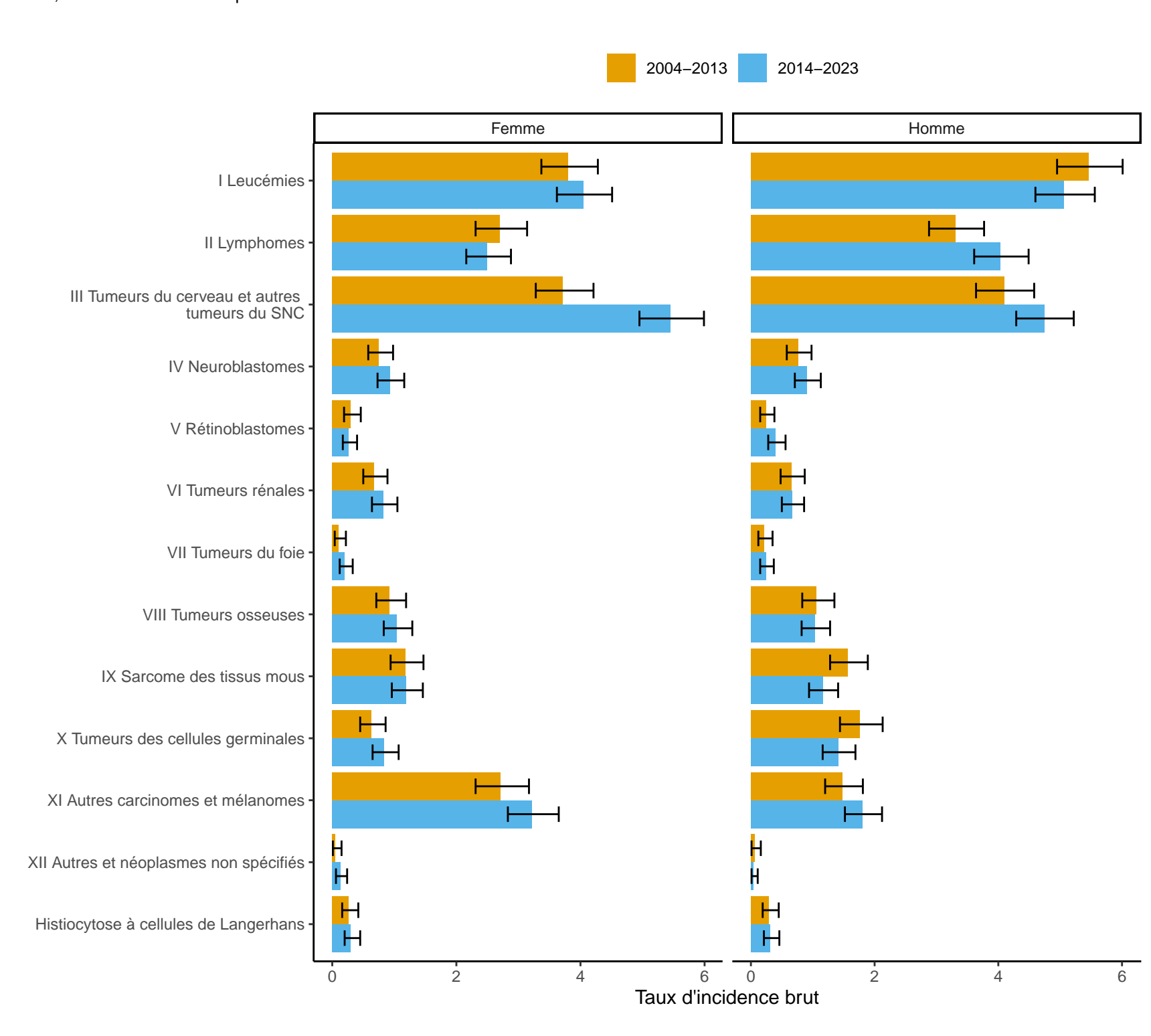


État des données: 14.07.2025 Publié: 18.08.2025

Incidence

Par sexe, groupes principaux de diagnostics et périodes de 10 ans

Groupes principaux de diagnostic selon la ICCC-3¹ et l'histiocytose à cellules de Langerhans; Taux brut pour 100,000 personnes par année; Les barres d'erreur représentent des intervalles de confiance à 95%



État des données: 14.07.2025

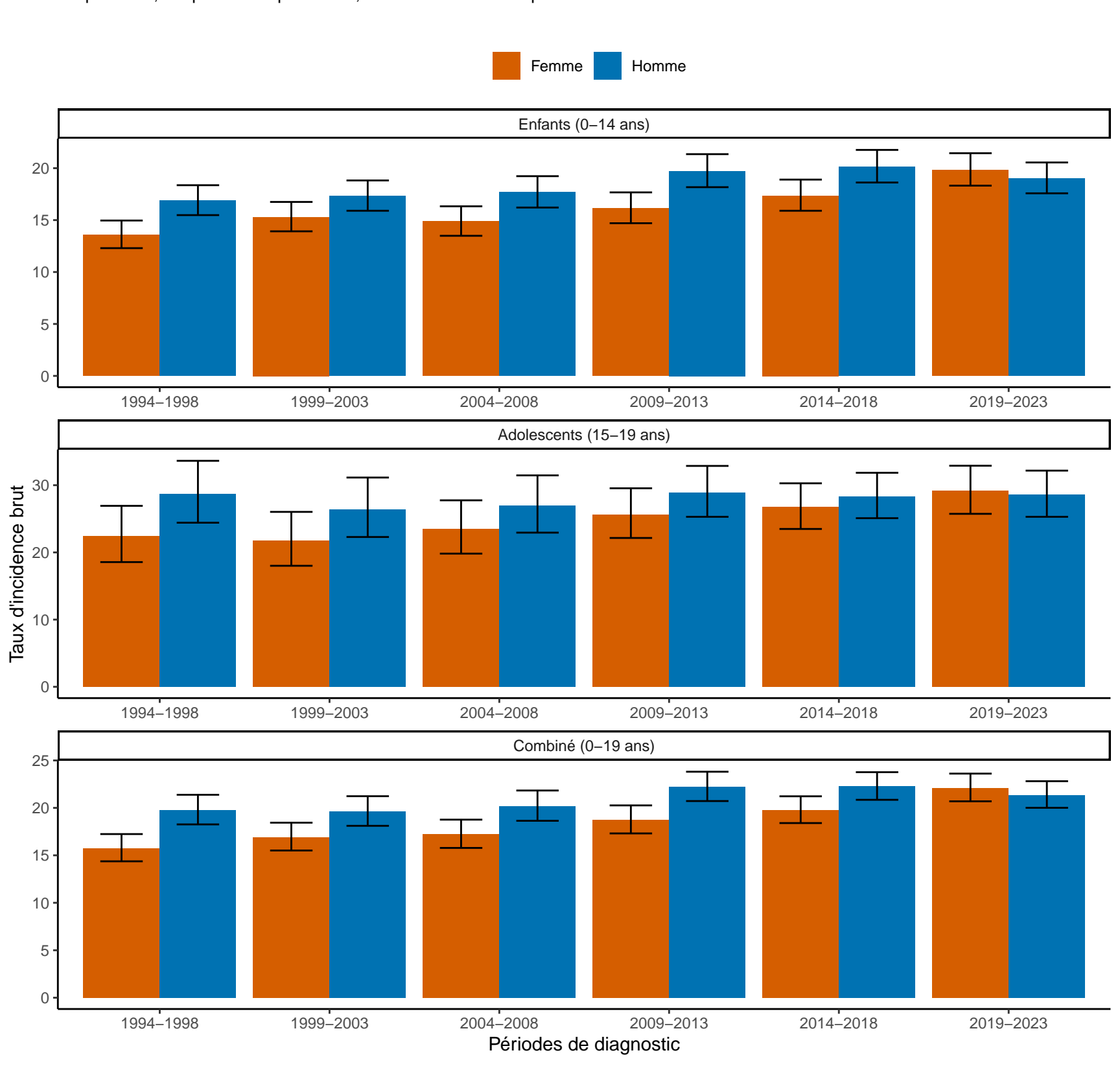
Publié: 18.08.2025

¹ Steliarova–Foucher E. et al. International Classification of Childhood Cancer, Third edition. Cancer 2005;103:1457–67. doi: 10.1002/cncr.20910. PMID: 15712273.

Incidence

Par sexe, groupe d'âge et périodes de 5 ans

Taux brut pour 100,000 personnes par année; Les barres d'erreur représentent des intervalles de confiance à 95%



État des données: 14.07.2025

Publié: 18.08.2025

Cancer chez les enfants (0-14 ans), 2004-2013

Par les groupes principaux de diagnostic

Nombre de cas (fréquence relative %), âge médian au moment du diagnostic (en années), incidence pour 100,000 personnes par année, et sex-ratio; Groupes principaux de diagnostic selon la ICCC-3¹ et histiocytose à cellules de Langerhans

	Type de cancer	n(%)	Âge au Dx (médiane)	Incidence	Sex ratio (homme: femme)
1	Leucémies	646 (32.3%)	4.00	5.42	1.52
II	II Lymphomes	230 (11.5%)	10.00	1.93	1.77
III	Tumeurs du cerveau et autres tumeurs du SNC	468 (23.4%)	7.00	3.93	1.18
IV	Neuroblastomes	122 (6.1%)	1.00	1.02	1.03
V	Rétinoblastomes	44 (2.2%)	1.00	0.37	0.83
VI	Tumeurs rénales	94 (4.7%)	3.00	0.79	0.92
VII	Tumeurs du foie	19 (1.0%)	1.00	0.16	1.71
VIII	Tumeurs osseuses	86 (4.3%)	11.00	0.72	1.10
IX	Sarcome des tissus mous	144 (7.2%)	7.00	1.21	1.36
Χ	Tumeurs des cellules germinales	61 (3.1%)	7.00	0.51	1.26
ΧI	Autres carcinomes et mélanomes	80 (4.0%)	12.00	0.67	0.57
XII	Autres et néoplasmes non spécifiés	4 (0.2%)	1.50	0.03	1.00
	Total (hors histiocytose à cellules de Langerhans)	1998 (100.0%)	6.00	16.77	1.28
	Histiocytose à cellules de Langerhans	44 (2.2%)	4.00	0.37	1.10
	Total (y compris l'histiocytose à cellules de Langerhans)	2042 (100.0%)	6.00	17.14	1.28

Abréviations: Dx diagnostic

État des données: 14.07.2025

Publié: 18.08.2025

¹ Steliarova-Foucher E. et al. International Classification of Childhood Cancer, Third edition. Cancer 2005;103:1457-67.doi: 10.1002/cncr.20910. PMID: 15712273.

Cancer chez les enfants (0-14 ans), 2014-2023

Par les groupes principaux de diagnostic

Nombre de cas (fréquence relative %), âge médian au moment du diagnostic (en années), incidence pour 100,000 personnes par année, et sex-ratio; Groupes principaux de diagnostic selon la ICCC-3¹ et histiocytose à cellules de Langerhans

	Type de cancer	n(%)	Âge au Dx (médiane)	Incidence	Sex ratio (homme: femme)
1	Leucémies	641 (26.7%)	4.00	5.01	1.26
II	II Lymphomes	275 (11.5%)	9.00	2.15	2.09
III	Tumeurs du cerveau et autres tumeurs du SNC	655 (27.3%)	7.00	5.12	1.00
IV	Neuroblastomes	146 (6.1%)	1.00	1.14	1.12
V	Rétinoblastomes	57 (2.4%)	0.00	0.45	1.59
VI	Tumeurs rénales	119 (5.0%)	3.00	0.93	0.86
VII	Tumeurs du foie	38 (1.6%)	1.50	0.30	1.24
VIII	Tumeurs osseuses	101 (4.2%)	11.00	0.79	0.71
IX	Sarcome des tissus mous	136 (5.7%)	5.00	1.06	0.84
Χ	Tumeurs des cellules germinales	73 (3.0%)	9.00	0.57	0.74
ΧI	Autres carcinomes et mélanomes	152 (6.3%)	12.00	1.19	0.83
XII	Autres et néoplasmes non spécifiés	7 (0.3%)	9.00	0.05	0.40
	Total (hors histiocytose à cellules de Langerhans)	2400 (100.0%)	6.00	18.76	1.11
	Histiocytose à cellules de Langerhans	45 (1.8%)	5.00	0.35	0.96
	Total (y compris l'histiocytose à cellules de Langerhans)	2445 (100.0%)	6.00	19.11	1.11

Abréviations: Dx diagnostic

État des données: 14.07.2025

Publié: 18.08.2025

¹ Steliarova-Foucher E. et al. International Classification of Childhood Cancer, Third edition. Cancer 2005;103:1457-67.doi: 10.1002/cncr.20910. PMID: 15712273.

Cancer chez les adolescents (15-19 ans), 2004-2013

Par les groupes principaux de diagnostic

Nombre de cas (fréquence relative %), âge médian au moment du diagnostic (en années), incidence pour 100,000 personnes par année, et sex-ratio; Groupes principaux de diagnostic selon la ICCC-3¹ et histiocytose à cellules de Langerhans

	Type de cancer	n(%)	Âge au Dx (médiane)	Incidence	Sex ratio (homme: femme)
I	Leucémies	113 (9.6%)	16.00	2.53	1.51
II	II Lymphomes	270 (23.1%)	17.00	6.07	1.00
III	Tumeurs du cerveau et autres tumeurs du SNC	171 (14.6%)	16.00	3.83	1.09
IV	Neuroblastomes	2 (0.2%)	19.00	0.04	NA*
V	Rétinoblastomes	0 (0.0%)	NA	0.00	NA
VI	Tumeurs rénales	15 (1.3%)	16.50	0.34	2.00
VII	Tumeurs du foie	6 (0.5%)	17.00	0.14	4.89
VIII	Tumeurs osseuses	73 (6.3%)	16.00	1.65	1.43
IX	Sarcome des tissus mous	86 (7.3%)	17.00	1.93	1.52
Χ	Tumeurs des cellules germinales	151 (12.9%)	18.00	3.39	5.32
ΧI	Autres carcinomes et mélanomes	279 (23.9%)	18.00	6.27	0.57
XII	Autres et néoplasmes non spécifiés	4 (0.3%)	17.00	0.09	1.04
	Total (hors histiocytose à cellules de Langerhans)	1170 (100.0%)	17.00	26.27	1.18
	Histiocytose à cellules de Langerhans	2 (0.2%)	19.00	0.04	NA*
	Total (y compris l'histiocytose à cellules de Langerhans)	1172 (100.0%)	17.00	26.32	1.19

Abréviations: Dx diagnostic, NA non applicable (*données non présentées pour empêcher la divulgation de l'âge/du sexe des patients individuels)

État des données: 14.07.2025

Publié: 18.08.2025

¹ Steliarova-Foucher E. et al. International Classification of Childhood Cancer, Third edition. Cancer 2005;103:1457-67.doi: 10.1002/cncr.20910. PMID: 15712273.

Cancer chez les adolescents (15-19 ans), 2014-2023

Par les groupes principaux de diagnostic

Nombre de cas (fréquence relative %), âge médian au moment du diagnostic (en années), incidence pour 100,000 personnes par année, et sex-ratio; Groupes principaux de diagnostic selon la ICCC-3¹ et histiocytose à cellules de Langerhans

	Type de cancer	n(%)	Âge au Dx (médiane)	Incidence	Sex ratio (homme: femme)
- 1	Leucémies	140 (11.6%)	17.00	3.24	1.70
II	II Lymphomes	288 (23.9%)	17.00	6.69	1.41
III	Tumeurs du cerveau et autres tumeurs du SNC	214 (17.7%)	17.00	4.97	0.72
IV	Neuroblastomes	10 (0.9%)	17.00	0.24	0.29
V	Rétinoblastomes	0 (0.0%)	NA	0.00	NA
VI	Tumeurs rénales	8 (0.6%)	16.00	0.18	0.73
VII	Tumeurs du foie	0 (0.0%)	NA	0.00	NA
VIII	Tumeurs osseuses	75 (6.3%)	17.00	1.75	1.76
IX	Sarcome des tissus mous	65 (5.4%)	17.00	1.51	1.60
Χ	Tumeurs des cellules germinales	123 (10.2%)	18.00	2.85	3.43
ΧI	Autres carcinomes et mélanomes	277 (23.0%)	17.00	6.44	0.49
XII	Autres et néoplasmes non spécifiés	7 (0.6%)	18.00	0.16	0.19
	Total (hors histiocytose à cellules de Langerhans)	1207 (100.0%)	17.00	28.03	1.08
	Histiocytose à cellules de Langerhans	8 (0.7%)	17.00	0.18	2.64
	Total (y compris l'histiocytose à cellules de Langerhans)	1215 (100.0%)	17.00	28.21	1.08

Abréviations: Dx diagnostic, NA non applicable (*données non présentées pour empêcher la divulgation de l'âge/du sexe des patients individuels)

État des données: 14.07.2025

Publié: 18.08.2025

¹ Steliarova-Foucher E. et al. International Classification of Childhood Cancer, Third edition. Cancer 2005;103:1457-67.doi: 10.1002/cncr.20910. PMID: 15712273.